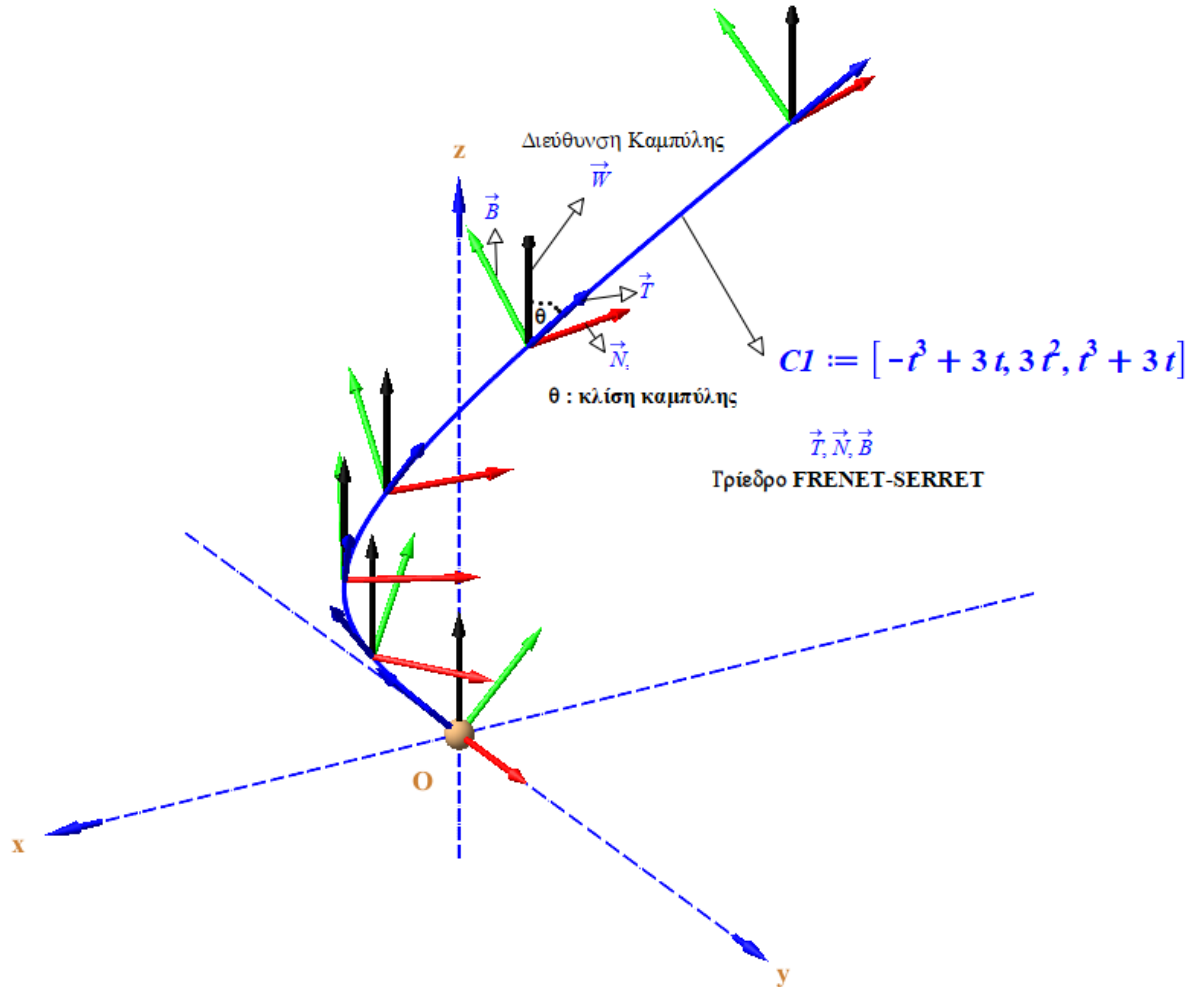


```

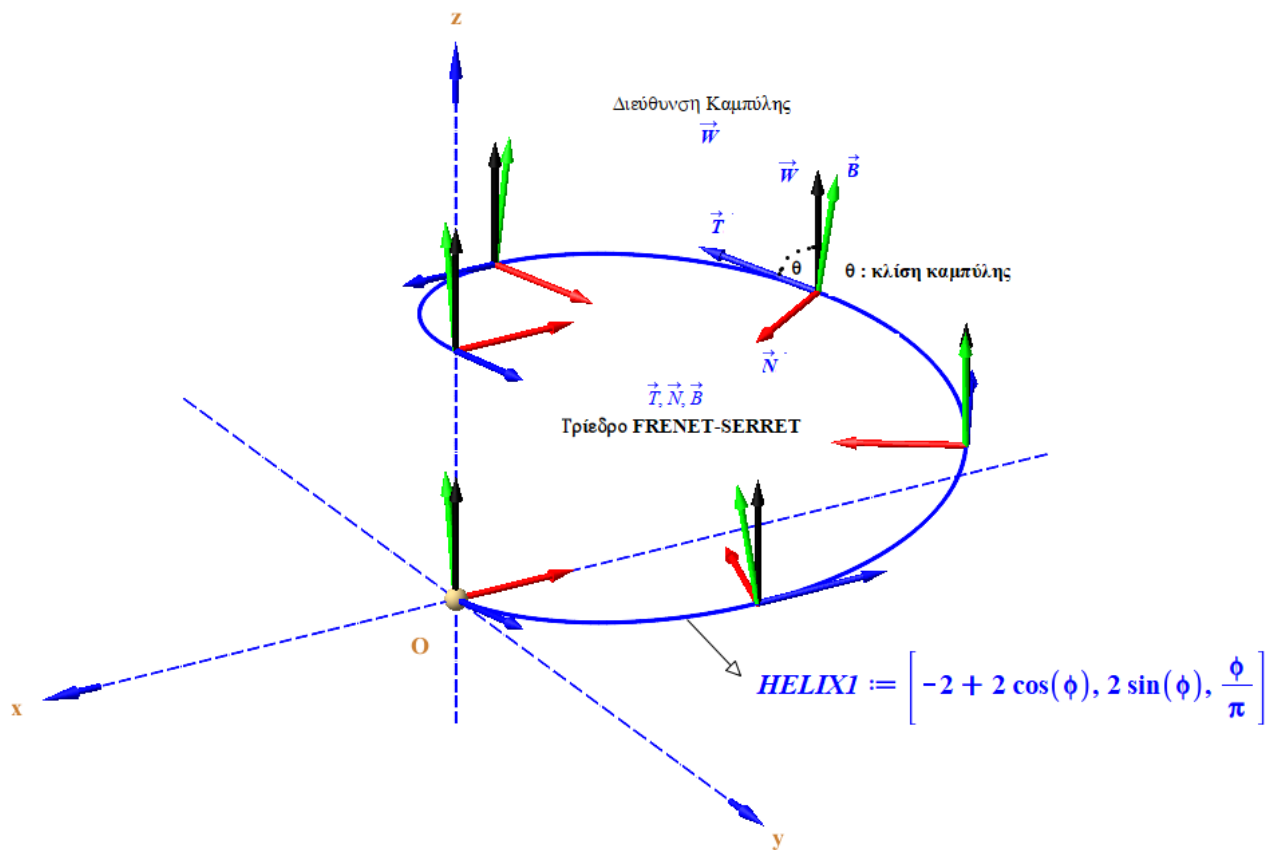
>
> with(plots) :
> with(Physics[Vectors]) :
> Setup(mathematicalnotation = true) :
> with(RealDomain) :
>
>

```

Καμπύλη Σταθερής Κλίσης  
 ΣΑΒΒΑΣ Π. ΓΑΒΡΙΗΛΙΔΗΣ



Κομπύλη Σταθερής Κλίσης  
ΣΑΒΒΑΣ Π. ΓΑΒΡΙΗΛΙΔΗΣ



Ελέγχουμε εάν η παραμετροποίηση της Περιστροφόμενης Καμπύλης γίνεται ως προς Φυσική παράμετρο (Καμπύλη Μοναδιαίας Ταχύτητας) .

$$Norm\left(\frac{d}{du}\vec{r}\right) = 1.$$

Υπάρχει αναμετροποίηση που να ικανοποιεί την ως άνω απαίτηση .

Παράδειγμα : Έστω κύκλος στο συντεταγμένο επίπεδο xz ακτίνας  $\rho$  :

$$\text{Μία παραμετροποίηση είναι : } \vec{r} = \rho \cdot \cos(\phi) \cdot \vec{i} + \rho \cdot \sin(\phi) \cdot \vec{k} \Rightarrow Norm\left(\frac{d}{d\phi}\vec{r}\right) = \rho \neq 1$$

Η αναμετροποίηση για να είναι  $Norm\left(\frac{d}{d\phi}\vec{r}\right) = 1$  :

$$s = \int_0^{\phi} Norm\left(\frac{d}{d\phi}\vec{r}\right) d\phi = \rho \cdot \phi \Rightarrow \phi = \frac{s}{\rho} \Rightarrow \vec{r} = \rho \cdot \cos\left(\frac{s}{\rho}\right) \cdot \vec{i} + \rho \cdot \sin\left(\frac{s}{\rho}\right) \cdot \vec{k}, Norm\left(\frac{d}{ds}\vec{r}\right) = 1.$$

>

$$R_ := \rho \cdot \cos(\phi) \cdot \vec{i} + \rho \cdot \sin(\phi) \cdot \vec{k}$$

$$\vec{R} := \rho \cos(\phi) \hat{i} + \rho \sin(\phi) \hat{k} \tag{1}$$

$$> \text{simplify(Norm(diff(R_, \phi)))}$$

$\rho$

(2)

$$> \langle \rho \cos(\phi), 0, \rho \sin(\phi) \rangle$$

$$\begin{bmatrix} \rho \cos(\phi) \\ 0 \\ \rho \sin(\phi) \end{bmatrix} \quad (3)$$

>  $s = \text{int}((2), \phi = 0 .. \phi)$

$$s = \rho \phi \quad (4)$$

>  $\text{solve}((4), \phi)$

$$\frac{s}{\rho} \quad (5)$$

>  $\text{subs}(\phi = (5), (1))$

$$\rho \cos\left(\frac{s}{\rho}\right) \hat{i} + \rho \sin\left(\frac{s}{\rho}\right) \hat{k} \quad (6)$$

>  $\text{simplify}(\text{Norm}(\text{diff}((6), s)))$

$$1 \quad (7)$$

>  $\left\langle \rho \cos\left(\frac{s}{\rho}\right), 0, \rho \sin\left(\frac{s}{\rho}\right) \right\rangle$

$$\begin{bmatrix} \rho \cos\left(\frac{s}{\rho}\right) \\ 0 \\ \rho \sin\left(\frac{s}{\rho}\right) \end{bmatrix} \quad (8)$$

>  $\text{VectorCalculus}[\text{TNBFrame}](\mathbf{(3)}, \phi)$

$$\begin{bmatrix} -\sin(\phi) \\ 0 \\ \cos(\phi) \end{bmatrix}, \begin{bmatrix} -\cos(\phi) \\ 0 \\ -\sin(\phi) \end{bmatrix}, \begin{bmatrix} 0 \\ -1 \\ 0 \end{bmatrix} \quad (9)$$

>  $\text{VectorCalculus}[\text{TNBFrame}](\mathbf{(8)}, s)$

$$\begin{bmatrix} -\sin\left(\frac{s}{\rho}\right) \\ 0 \\ \cos\left(\frac{s}{\rho}\right) \end{bmatrix}, \begin{bmatrix} -\cos\left(\frac{s}{\rho}\right) \\ 0 \\ -\sin\left(\frac{s}{\rho}\right) \end{bmatrix}, \begin{bmatrix} 0 \\ -1 \\ 0 \end{bmatrix} \quad (10)$$

>

# ΔΙΑΦΟΡΙΚΗ ΓΕΩΜΕΤΡΙΑ ΚΑΜΠΥΛΩΝ ΚΑΙ ΕΠΙΦΑΝΕΙΩΝ

ΘΕΟΔΩΡΟΣ ΒΛΑΧΟΣ

ΠΑΝΕΠΙΣΤΗΜΙΟ ΙΩΑΝΝΙΝΩΝ

ΙΩΑΝΝΙΝΑ 2020

3. Δίνεται η καμπύλη  $c: \mathbb{R} \rightarrow \mathbb{R}^3$  με

$$c(t) = (3t - t^3, 3t^2, 3t + t^3), \quad t \in \mathbb{R}.$$

Να αποδείξετε ότι είναι καμπύλη σταθερής κλίσης και να βρεθεί σταθερό διάνυσμα (δηλαδή η διεύθυνσή της) το οποίο σχηματίζει σταθερή γωνία με όλες τις εφαπτόμενες ευθείες της καμπύλης  $c$ .

$$\text{> } C1 := [3 \cdot t - t^3, 3 \cdot t^2, 3 \cdot t + t^3]$$

$$C1 := [-t^3 + 3t, 3t^2, t^3 + 3t] \quad (11)$$

$$\text{> } C := \langle 3 \cdot t - t^3, 3 \cdot t^2, 3 \cdot t + t^3 \rangle$$

$$C := \begin{bmatrix} -t^3 + 3t \\ 3t^2 \\ t^3 + 3t \end{bmatrix} \quad (12)$$

$$\text{> } r_ := C[1] \cdot \underline{i} + C[2] \cdot \underline{j} + C[3] \cdot \underline{k}$$

$$\vec{r} := (-t^3 + 3t) \hat{i} + 3t^2 \hat{j} + (t^3 + 3t) \hat{k} \quad (13)$$

$$\text{> } T := \text{simplify}(\text{VectorCalculus}[\text{TNBFrame}](C)[1])$$

(14)

$$T := \begin{bmatrix} \frac{(-t^2 + 1)\sqrt{2}}{2t^2 + 2} \\ \frac{\sqrt{2}t}{t^2 + 1} \\ \frac{\sqrt{2}}{2} \end{bmatrix} \quad (14)$$

> T[1]

$$\frac{(-t^2 + 1)\sqrt{2}}{2t^2 + 2} \quad (15)$$

> T[2]

$$\frac{\sqrt{2}t}{t^2 + 1} \quad (16)$$

> T[3]

$$\frac{\sqrt{2}}{2} \quad (17)$$

> VectorCalculus[Norm]((14))

$$1 \quad (18)$$

> t\_ := T[1]·\_i + T[2]·\_j + T[3]·\_k

$$\vec{t} := \frac{(-t^2 + 1)\sqrt{2}}{2t^2 + 2} \hat{i} + \frac{\sqrt{2}t}{t^2 + 1} \hat{j} + \frac{\sqrt{2}}{2} \hat{k} \quad (19)$$

> N := simplify(VectorCalculus[TNBFrame](C)[2])

$$N := \begin{bmatrix} -\frac{2t}{t^2 + 1} \\ \frac{-t^2 + 1}{t^2 + 1} \\ 0 \end{bmatrix} \quad (20)$$

> N[1]

$$-\frac{2t}{t^2 + 1} \quad (21)$$

> N[2]

$$\frac{-t^2 + 1}{t^2 + 1} \quad (22)$$

> N[3]

$$0 \quad (23)$$

> VectorCalculus[Norm]((20))

$$1 \quad (24)$$

>  $B := \text{simplify}(\text{VectorCalculus}[\text{TNBFrame}](C)[3])$

$$B := \begin{bmatrix} \frac{(t^2 - 1)\sqrt{2}}{2t^2 + 2} \\ -\frac{\sqrt{2}t}{t^2 + 1} \\ \frac{\sqrt{2}}{2} \end{bmatrix} \quad (25)$$

>  $B[1]$

$$\frac{(t^2 - 1)\sqrt{2}}{2t^2 + 2} \quad (26)$$

>  $B[2]$

$$-\frac{\sqrt{2}t}{t^2 + 1} \quad (27)$$

>  $B[3]$

$$\frac{\sqrt{2}}{2} \quad (28)$$

>  $\text{VectorCalculus}[\text{Norm}]((25))$

$$1 \quad (29)$$

>  $b_- := B[1] \cdot \hat{i} + B[2] \cdot \hat{j} + B[3] \cdot \hat{k}$

$$\vec{b} := \frac{(t^2 - 1)\sqrt{2}}{2t^2 + 2} \hat{i} - \frac{\sqrt{2}t}{t^2 + 1} \hat{j} + \frac{\sqrt{2}}{2} \hat{k} \quad (30)$$

>  $\text{TORSION} := \text{simplify}(\text{VectorCalculus}[\text{Torsion}](C))$

$$\text{TORSION} := \frac{1}{3(t^2 + 1)^2} \quad (31)$$

>  $\text{CURVATURE} := \text{simplify}(\text{VectorCalculus}[\text{Curvature}](C))$

$$\text{CURVATURE} := \frac{1}{3(t^2 + 1)^2} \quad (32)$$

>  $\frac{\text{TORSION}}{\text{CURVATURE}} = \cot(x)$

$$1 = \cot(x) \quad (33)$$

>  $\text{solve}((33), x)$

$$\frac{\pi}{4} \quad (34)$$

>  $w_- := \cos\left(\frac{\text{Pi}}{4}\right) \cdot t_- + \sin\left(\frac{\text{Pi}}{4}\right) \cdot b_-$

$$\vec{w} := \hat{k} \quad (35)$$

$$\text{> simplify(Norm}(w\_)) \quad 1 \quad (36)$$

$$\text{> simplify}(w\_ \cdot t\_ ) \quad \frac{\sqrt{2}}{2} \quad (37)$$

$$\text{> simplify}(w\_ \cdot b\_ ) \quad \frac{\sqrt{2}}{2} \quad (38)$$

$$\text{> cos}(\theta) \cdot t\_ + \text{sin}(\theta) \cdot b\_ \\ \hat{i} \left( \frac{\cos(\theta) (-t^2 + 1) \sqrt{2}}{2t^2 + 2} + \frac{\sin(\theta) (t^2 - 1) \sqrt{2}}{2t^2 + 2} \right) + \hat{j} \left( \frac{\cos(\theta) \sqrt{2} t}{t^2 + 1} - \frac{\sin(\theta) \sqrt{2} t}{t^2 + 1} \right) \\ + \hat{k} \left( \frac{\cos(\theta) \sqrt{2}}{2} + \frac{\sin(\theta) \sqrt{2}}{2} \right) \quad (39)$$

$$\text{> simplify}((\cos(\theta) \cdot t\_ + \sin(\theta) \cdot b\_ ) \cdot t\_ ) \quad \cos(\theta) \quad (40)$$

$$\text{> simplify}((\cos(\theta) \cdot t\_ + \sin(\theta) \cdot b\_ ) \cdot b\_ ) \quad \sin(\theta) \quad (41)$$

> A := 2 :

> B := 3 :

> H := 2 :

> OO := pointplot3d([0, 0, 0], symbol=solidcircle, symbolsize=10) :

>

> axX := spacecurve([x, 0, 0], x=-(A+3)..A+1, linestyle=3, thickness=1, color=blue) :

> axY := spacecurve([0, y, 0], y=-(B+1)..(B+1), linestyle=3, thickness=1, color=blue) :

> axZ := spacecurve([0, 0, z], z=-H/2..H+2, linestyle=3, thickness=2, color=blue) :

>

> ARaxX := arrow([(A+1), 0, 0], [0.5, 0, 0], width=0.05, head\_length=0.3, shape=cylindrical\_arrow, color=blue) :

> ARaxY := arrow([0, (B+1), 0], [0, 0.5, 0], width=0.05, head\_length=0.3, shape=cylindrical\_arrow, color=blue) :

> ARaxZ := arrow([0, 0, (H+2)], [0, 0, 0.5], width=0.05, head\_length=0.3, shape=cylindrical\_arrow, color=blue) :

>

> tX := textplot3d([(A+1.7), 0.0, 0, "x"], color=gold, font=[arial, bold, 14]) :

> tY := textplot3d([0, (B+1.7), 0, "y"], color=gold, font=[arial, bold, 14]) :

> tZ := textplot3d([0, 0, (H+2.7), "z"], color=gold, font=[arial, bold, 14]) :

> tO := textplot3d([0+0.3, 0, -0.3, "O"], color=gold, font=[arial, bold, 14]) :

> AXONES := display(OO, axX, axY, axZ, ARaxX, ARaxY, ARaxZ, tX, tY, tZ, tO, scaling=constrained, axes=none, orientation=[60, 65, 0], lightmodel=light4) :

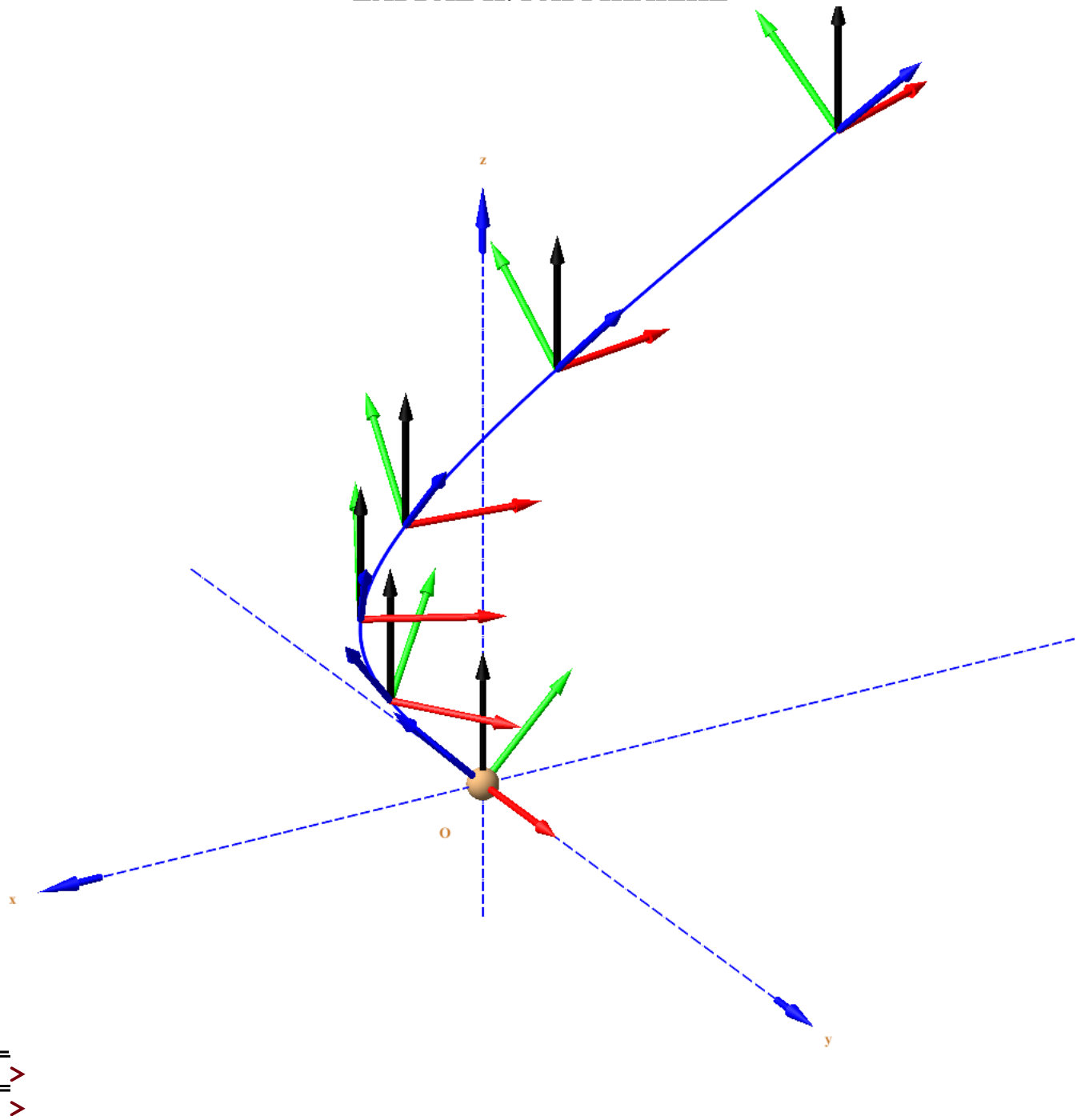
```

>
> CP1 := spacecurve(C1, t=0..1.5, color=blue, thickness=3) :
> pp1 := animate(arrow, [[C1[1], C1[2], C1[3]], [0, 0, 1], color=black, scaling=constrained,
axes=none], t=0..1.5, frames=45, trace=5) :
> ppT := animate(arrow, [[C1[1], C1[2], C1[3]], [T[1], T[2], T[3]], color=blue, scaling
=constrained, axes=none], t=0..1.5, frames=45, trace=5, ) :
> ppN := animate(arrow, [[C1[1], C1[2], C1[3]], [N[1], N[2], N[3]], color=red, scaling
=constrained, axes=none], t=0..1.5, frames=45, trace=5, ) :
> ppB := animate(arrow, [[C1[1], C1[2], C1[3]], [(26), (27), (28)], color=green, scaling
=constrained, axes=none], t=0..1.5, frames=45, trace=5) :
>
> display(AXONES, CP1, pp1, ppT, ppN, ppB, title
= "Κομπόλη Σταθερής Κλίσης\nΣΑΒΒΑΣ Π. ΓΑΒΡΙΗΛΙΔΗΣ", titlefont = [arial, bold, 14])

```



Καμπύλη Σταθερής Κλίσης  
ΣΑΒΒΑΣ Π. ΓΑΒΡΙΗΛΙΔΗΣ



Θεώρημα 2.4.1. Μια κανονική καμπύλη του Ευκλειδείου χώρου  $\mathbb{R}^3$  με παντού θετική καμπυλότητα  $k$  και στρέψη  $\tau$  είναι καμπύλη σταθερής κλίσης αν και μόνο αν η συνάρτηση  $\tau/k$  είναι σταθερή.

## 2.4 Καμπύλες σταθερής κλίσης

**Ορισμός 2.4.1.** Μια κανονική καμπύλη  $c$  του Ευκλειδείου χώρου  $\mathbb{R}^3$  καλείται *καμπύλη σταθερής κλίσης* αν υπάρχει μη μηδενικό διάνυσμα το οποίο σχηματίζει σταθερή γωνία με κάθε εφαπτομένη ευθεία της καμπύλης  $c$ .

Με άλλα λόγια μια καμπύλη είναι καμπύλη σταθερής κλίσης αν υπάρχει μοναδιαίο διάνυσμα  $w$  τέτοιο ώστε το μοναδιαίο εφαπτομενικό διάνυσμα  $\vec{t}$  της καμπύλης να πληροί παντού τη σχέση

$$\langle \vec{t}, w \rangle = \cos \varphi,$$

όπου  $\varphi$  είναι η σταθερή γωνία που σχηματίζει το διάνυσμα  $w$  με κάθε εφαπτομένη ευθεία.

## 2.4. ΚΑΜΠΥΛΕΣ ΣΤΑΘΕΡΗΣ ΚΛΙΣΗΣ

---

Το διάνυσμα  $w$  συχνά αναφέρεται ως η **διεύθυνση** της καμπύλης σταθερής κλίσης, ενώ η σταθερή γωνία  $\varphi$  ως **κλίση** της.

Οι επίπεδες καμπύλες καθώς και οι κυλινδρικές έλικες είναι καμπύλες σταθερής κλίσης (ποιά είναι η διεύθυνση και ποιά η κλίση τους;).

Το ακόλουθο αποτέλεσμα μας δίνει ένα χαρακτηρισμό για τις καμπύλες σταθερής κλίσης μέσω της καμπυλότητας και της στρέψης.

**Θεώρημα 2.4.1.** Μια κανονική καμπύλη του Ευκλειδείου χώρου  $\mathbb{R}^3$  με παντού θετική καμπυλότητα  $k$  και στρέψη  $\tau$  είναι καμπύλη σταθερής κλίσης αν και μόνο αν η συνάρτηση  $\tau/k$  είναι σταθερή.

*Απόδειξη.* Έστω καμπύλη  $c: I \subseteq \mathbb{R} \rightarrow \mathbb{R}^3$  με φυσική παράμετρο  $s \in I$  και παντού θετική καμπυλότητα  $k$ .

Υποθέτουμε ότι η καμπύλη  $c$  είναι καμπύλη σταθερής κλίσης. Αυτό σημαίνει ότι υπάρχει μοναδιαίο διάνυσμα  $w$  τέτοιο ώστε

$$\langle \vec{t}, w \rangle = \cos \varphi,$$

όπου  $\varphi$  σταθερή γωνία.

Παραγωγίζοντας και κάνοντας χρήση της πρώτης εξίσωσης Frenet, λαμβάνουμε

$$\langle \vec{n}, w \rangle = 0.$$

Επομένως είναι

$$w = \langle w, \vec{t} \rangle \vec{t} + \langle w, \vec{b} \rangle \vec{b},$$

ή ισοδύναμα

$$w = \cos \varphi \vec{t} + \sin \varphi \vec{b}.$$

Παραγωγίζοντας την ανωτέρω και κάνοντας χρήση της πρώτης και τρίτης εξίσωσης Frenet, βρίσκουμε ότι

$$\frac{\tau}{k} = \cot \varphi.$$

Αντίστροφα, υποθέτουμε ότι

$$\boxed{\frac{\tau}{k} = \cot \varphi} \quad (2.8)$$

για κάποια σταθερή γωνία  $\varphi$ . Θεωρούμε τη λεία διανυσματική συνάρτηση  $W: I \rightarrow \mathbb{R}^3$  με

$$W(s) = \cos \varphi \vec{t}(s) + \sin \varphi \vec{b}(s), \quad s \in I.$$

Με τη βοήθεια των εξισώσεων Frenet και της ισότητας (2.8), προκύπτει ότι

$$\frac{dW}{ds}(s) = 0,$$

για κάθε  $s \in I$ . Επομένως είναι  $W(s) = w$  ανεξάρτητο του  $s$ . Προφανώς ισχύει

$$\langle \vec{t}, w \rangle = \cos \varphi,$$

το οποίο σημαίνει ότι η καμπύλη  $c$  είναι καμπύλη σταθερής κλίσης.  $\square$

Οι επίπεδες καμπύλες καθώς και οι κυλινδρικές έλικες είναι καμπύλες σταθερής κλίσης (ποιά είναι η διεύθυνση και ποιά η κλίση τους;).

$$HELIX := \left[ -a + a \cdot \cos(\phi), + b \cdot \sin(\phi), \frac{BHMA \cdot \phi}{2 \cdot \text{Pi}} \right]$$

> BHMA := 2

$$BHMA := 2 \quad (42)$$

> a := 2

$$a := 2 \quad (43)$$

> b := 2

$$b := 2 \quad (44)$$

$$\begin{aligned} > (-a + a \cdot \cos(\phi)) \cdot \_i + (b \cdot \sin(\phi)) \cdot \_j + \left( \frac{BHMA}{2 \cdot \text{Pi}} \cdot \phi \right) \cdot \_k \\ & \quad (-2 + 2 \cos(\phi)) \hat{i} + 2 \sin(\phi) \hat{j} + \frac{\phi \hat{k}}{\pi} \end{aligned} \quad (45)$$

> HELIX := <Component((45), 1), Component((45), 2), Component((45), 3)>

$$HELIX := \begin{bmatrix} -2 + 2 \cos(\phi) \\ 2 \sin(\phi) \\ \frac{\phi}{\pi} \end{bmatrix} \quad (46)$$

> HELIX1 := [Component((45), 1), Component((45), 2), Component((45), 3)]

$$HELIX1 := \left[ -2 + 2 \cos(\phi), 2 \sin(\phi), \frac{\phi}{\pi} \right] \quad (47)$$

> VectorCalculus[TNBFrame](HELIX)

$$\begin{bmatrix} -\frac{2 \pi \sin(\phi)}{\sqrt{4 \pi^2 + 1}} \\ \frac{2 \pi \cos(\phi)}{\sqrt{4 \pi^2 + 1}} \\ 1 \\ \frac{1}{\sqrt{4 \pi^2 + 1}} \end{bmatrix}, \begin{bmatrix} -\cos(\phi) \\ -\sin(\phi) \\ 0 \end{bmatrix}, \begin{bmatrix} \frac{\sin(\phi)}{\sqrt{4 \pi^2 + 1}} \\ -\frac{\cos(\phi)}{\sqrt{4 \pi^2 + 1}} \\ \frac{2 \pi}{\sqrt{4 \pi^2 + 1}} \end{bmatrix} \quad (48)$$

> tI\_ := (48)[1][1]·\_i + (48)[1][2]·\_j + (48)[1][3]·\_k

(49)

$$\vec{t}l := -\frac{2\pi \sin(\phi) \hat{i}}{\sqrt{4\pi^2 + 1}} + \frac{2\pi \cos(\phi) \hat{j}}{\sqrt{4\pi^2 + 1}} + \frac{\hat{k}}{\sqrt{4\pi^2 + 1}} \quad (49)$$

$$\begin{aligned} > bl\_ := (48)[3][1] \cdot \_i + (48)[3][2] \cdot \_j + (48)[3][3] \cdot \_k \\ \vec{bl} := \frac{\sin(\phi) \hat{i}}{\sqrt{4\pi^2 + 1}} - \frac{\cos(\phi) \hat{j}}{\sqrt{4\pi^2 + 1}} + \frac{2\pi \hat{k}}{\sqrt{4\pi^2 + 1}} \end{aligned} \quad (50)$$

$$\begin{aligned} > nl\_ := (48)[2][1] \cdot \_i + (48)[2][2] \cdot \_j + (48)[2][3] \cdot \_k \\ n\vec{l} := -\hat{i} \cos(\phi) - \sin(\phi) \hat{j} \end{aligned} \quad (51)$$

$$\begin{aligned} > TORS := \text{simplify}(\text{VectorCalculus}[\text{Torsion}](\text{HELIX})) \\ TORS := \frac{\pi}{4\pi^2 + 1} \end{aligned} \quad (52)$$

$$\begin{aligned} > CURBAT := \text{simplify}(\text{VectorCalculus}[\text{Curvature}](\text{HELIX})) \\ CURBAT := \frac{2\pi^2}{4\pi^2 + 1} \end{aligned} \quad (53)$$

$$\begin{aligned} > \text{simplify}\left(\frac{TORS}{CURBAT}\right) = \cot(x) \\ \frac{1}{2\pi} = \cot(x) \end{aligned} \quad (54)$$

$$\begin{aligned} > \text{solve}((54), x) \\ \frac{\pi}{2} - \arctan\left(\frac{1}{2\pi}\right) \end{aligned} \quad (55)$$

$$\begin{aligned} > W\_ := \cos(\theta) \cdot t\vec{l}\_ + \sin(\theta) \cdot b\vec{l}\_ \\ \vec{W} := \hat{i} \left( -\frac{2\cos(\theta)\pi \sin(\phi)}{\sqrt{4\pi^2 + 1}} + \frac{\sin(\theta) \sin(\phi)}{\sqrt{4\pi^2 + 1}} \right) + \hat{j} \left( \frac{2\cos(\theta)\pi \cos(\phi)}{\sqrt{4\pi^2 + 1}} \right. \\ \left. - \frac{\sin(\theta) \cos(\phi)}{\sqrt{4\pi^2 + 1}} \right) + \hat{k} \left( \frac{\cos(\theta)}{\sqrt{4\pi^2 + 1}} + \frac{2\sin(\theta)\pi}{\sqrt{4\pi^2 + 1}} \right) \end{aligned} \quad (56)$$

$$\begin{aligned} > \text{Norm}(W\_ ) \\ \left( \frac{\sin(\phi)^2 (2\pi \cos(\theta) - \sin(\theta))^2}{4\pi^2 + 1} + \frac{\cos(\phi)^2 (2\pi \cos(\theta) - \sin(\theta))^2}{4\pi^2 + 1} \right. \\ \left. + \frac{(2\sin(\theta)\pi + \cos(\theta))^2}{4\pi^2 + 1} \right)^{1/2} \end{aligned} \quad (57)$$

$$\begin{aligned} > \text{simplify}((57), 'symbolic') \\ 1 \end{aligned} \quad (58)$$

$$\begin{aligned} > \text{simplify}((\cos(\theta) \cdot t\vec{l}\_ + \sin(\theta) \cdot b\vec{l}\_ ) \cdot t\vec{l}\_ ) \\ \cos(\theta) \end{aligned} \quad (59)$$

$$\text{> simplify}((\cos(\theta) \cdot t1\_ + \sin(\theta) \cdot b1\_ ) \cdot b1\_ ) / \sin(\theta) \quad (60)$$

$$\text{> simplify}((\cos(\theta) \cdot t1\_ + \sin(\theta) \cdot b1\_ ) \cdot n1\_ ) / 0 \quad (61)$$

$$\text{> } W_{\_i} = \frac{\sin(\phi) (2 \pi \cos(\theta) - \sin(\theta))}{\sqrt{4 \pi^2 + 1}} \quad (62)$$

$$\text{> } W_{\_j} = \frac{\cos(\phi) (2 \pi \cos(\theta) - \sin(\theta))}{\sqrt{4 \pi^2 + 1}} \quad (63)$$

$$\text{> } W_{\_k} = \frac{2 \sin(\theta) \pi + \cos(\theta)}{\sqrt{4 \pi^2 + 1}} \quad (64)$$

$$\text{> simplify(subs([\phi = \phi, \theta = (55)], W_{\_i}))} = 0 \quad (65)$$

$$\text{> simplify(subs([\phi = \phi, \theta = (55)], W_{\_j}))} = 0 \quad (66)$$

$$\text{> simplify(subs([\phi = \phi, \theta = (55)], W_{\_k}))} = 1 \quad (67)$$

$$\text{> } \mathbf{W1\_ := 1 \cdot \_k} \quad \vec{W1} := \hat{k} \quad (68)$$

$$\text{> } W1_{\_i} = 0 \quad (69)$$

$$\text{> } W1_{\_j} = 0 \quad (70)$$

$$\text{> } W1_{\_k} = 1 \quad (71)$$

$$\text{> evalf}(W1\_ \cdot t1\_ ) = 0.1571767254 \quad (72)$$

$$\text{> evalf}(W1\_ \cdot b1\_ ) = 0.9875704918 \quad (73)$$

$$\text{> } \frac{\cos^{-1}((72)) \cdot 180}{\text{Pi}} = 80.95693894 \quad (74)$$

>	$\frac{\cos^{-1}((73)) \cdot 180}{\text{Pi}}$	9.043061204	(75)
>	(74) + (75)	90.00000014	(76)
>	$\text{evalf}(\text{subs}(\phi = \phi, \text{HELIX}))$	$\begin{bmatrix} -2. + 2. \cos(\phi) \\ 2. \sin(\phi) \\ 0.3183098861 \phi \end{bmatrix}$	(77)
>	(77)[1]	-2. + 2. cos( $\phi$ )	(78)
>	(77)[2]	2. sin( $\phi$ )	(79)
>	(77)[3]	0.3183098861 $\phi$	(80)
>	(48)[1][1]	$-\frac{2 \pi \sin(\phi)}{\sqrt{4 \pi^2 + 1}}$	(81)
>	(48)[1][2]	$\frac{2 \pi \cos(\phi)}{\sqrt{4 \pi^2 + 1}}$	(82)
>	(48)[1][3]	$\frac{1}{\sqrt{4 \pi^2 + 1}}$	(83)
>	(48)[2][1]	-cos( $\phi$ )	(84)
>	(48)[2][2]	-sin( $\phi$ )	(85)
>	(48)[2][3]	0	(86)
>	(48)[3][1]	$\frac{\sin(\phi)}{\sqrt{4 \pi^2 + 1}}$	(87)
>	(48)[3][2]		(88)



$$-\frac{\cos(\phi)}{\sqrt{4\pi^2 + 1}} \quad (88)$$

> (48)[3][3]

$$\frac{2\pi}{\sqrt{4\pi^2 + 1}} \quad (89)$$

```

> CP := spacecurve(HELIX1, φ = 0 ..2·Pi, color = blue, thickness = 3) :
> p1 := animate(arrow, [[(78), (79), (80)], [0, 0, 1], color = black, scaling = constrained, axes
= none], φ = 0 ..2 π, frames = 45, trace = 5) :
> pT := animate(arrow, [[(78), (79), (80)], [(48)[1][1], (48)[1][2], (48)[1][3]], color = blue,
scaling = constrained, axes = none], φ = 0 ..2 π, frames = 45, trace = 5) :
> pN := animate(arrow, [[(78), (79), (80)], [(48)[2][1], (48)[2][2], (48)[2][3]], color = red,
scaling = constrained, axes = none], φ = 0 ..2 π, frames = 45, trace = 5) :
> pB := animate(arrow, [[(78), (79), (80)], [(48)[3][1], (48)[3][2], (48)[3][3]], color = green,
scaling = constrained, axes = none], φ = 0 ..2 π, frames = 45, trace = 5) :
>
> display(AXONES, CP, p1, pT, pN, pB, title
= "Κομπόλη Σταθερής Κλίσης\nΣΑΒΒΑΣ Π. ΓΑΒΡΙΗΛΙΔΗΣ", titlefont = [arial, bold, 14])

```

Καμπύλη Σταθερής Κλίσης  
ΣΑΒΒΑΣ Π. ΓΑΒΡΙΗΛΙΔΗΣ

